

## Investigation and Comparison of Communication Network and Expression of *KLF4* and *POU5F1* Genes During Spermatogenesis

Maedeh Yazdani Dizicheh <sup>1</sup> , Hossein Azizi <sup>2\*</sup> , Dariush Gholami <sup>3</sup> , Amir Khaki <sup>4</sup> 

<sup>1</sup> Dept of Microbial Biotechnology, Faculty of Biotechnology, Amol University of New Technologies, Amol, Iran

<sup>2</sup> Dept of Nano Biotechnology, Faculty of Biotechnology, Amol University of Special Modern Technologies, Amol, Iran

<sup>3</sup> Dept of Biotechnology, Faculty of Biotechnology, Amol University of Special Modern Technologies, Amol, Iran

<sup>4</sup> Dept of veterinary medicine, Faculty of veterinary medicine, Amol University of Special Modern Technologies, Amol, Iran

### Article Info

**Article type:**

Research article

**Article History:**

Received: Dec. 18, 2023

Received in Revised Form:  
Feb. 23, 2024

Accepted: May. 19, 2024

Published Online: Oct. 05, 2024

**\* Correspondence to:**

Hossein Azizi  
Dept of Nano Biotechnology,  
Faculty of Biotechnology,  
Amol University of Special  
Modern Technologies, Amol,  
Iran

Email:  
h.azizi@ausmt.ac.ir

### ABSTRACT

**Introduction:** Spermatogenesis is the primary process of sperm production occurring in seminiferous tubules. Spermatogonial stem cells (SSCs) have the ability for self-renewal, differentiation, and the transmission of genetic information to subsequent generations. *KLF4* and *POU5F1* are transcription factors expressed in a wide range of tissues and play key roles in such processes as apoptosis, differentiation, proliferation, and cellular development. The present study aimed to assess the expression levels of *KLF4* and *POU5F1* genes in mouse embryonic stem cells (*mESCs*), spermatogonial stem cells (SSCs), embryonic-like stem cells (*ES-like*), and testicular cells, and identify the signaling pathways associated with them in the process of spermatogenesis.

**Materials & Methods:** In this experimental study, spermatogonial cells were extracted from mouse testes using enzymatic digestion method and cultured in GSC medium containing FGF, EGF, and GDNF. Thereafter, the expression of *KLF4* and *POU5F1* genes was examined in *mESCs*, *SSCs*, *ES-like*, and testicular cells using immunocytochemistry, immunohistochemistry, and reverse transcription-polymerase chain reaction methods, and protein-protein interactions and signaling pathways were evaluated using bioinformatics methods.

**Results:** The *KLF4* and *POU5F1* genes exhibited positive expression in *ES-like* cells and testicular cells. The assessment of *KLF4* mRNA and *POU5F1* mRNA expression levels demonstrated that *KLF4* expression is higher in *mESCs* and *ES-like* cells compared to other cells, while *POU5F1* expression is higher in *SSCs*. Both *KLF4* and *POU5F1* are considered essential and powerful genes that share a common class and function.

**Conclusion:** The findings of this study indicated that *KLF4* and *POU5F1* play crucial roles in the proper development of sperm and are present in various types of cells, including *mESCs*, *SSCs*, *ES-like* cells, and testicular cells. These factors are key components of sexual stem cells and contribute to stem cell proliferation, making them potential diagnostic markers for these cell lines.

**Keywords:** Embryonic stem-like cells, *KLF4*, *POU5F1*, signaling pathways, Spermatogenesis, Spermatogonial stem cells

**How to cite this paper:** Yazdani Dizicheh M, Azizi H, Gholami D, Khaki A. Investigation and Comparison of Communication Network and Expression of *KLF4* and *POU5F1* Genes During Spermatogenesis. *Journal of Ilam University of Medical Sciences*. 2024;32(4):53-65.



© The Author(s)

Publisher: Ilam University of Medical Sciences

## بررسی و مقایسه شبکه ارتباطی و نحوه بیان ژن‌های *KLF4* و *POU5F1* طی فرایند اسپرماتوژنر

مائدۀ بزدانی دیزیچه<sup>۱</sup>، حسین عزیزی<sup>۲\*</sup>، داریوش غلامی<sup>۳</sup>، امیر خاکی<sup>۴</sup>

<sup>۱</sup> گروه زیست فناوری میکروبی، دانشکده زیست فناوری، دانشگاه تخصصی فناوری‌های نوین آمل، آمل، ایران

<sup>۲</sup> گروه نانو زیست فناوری، دانشکده زیست فناوری، دانشگاه تخصصی فناوری‌های نوین آمل، آمل، ایران

<sup>۳</sup> گروه زیست فناوری میکروبی، دانشکده زیست فناوری، دانشگاه تخصصی فناوری‌های نوین آمل، آمل، ایران

<sup>۴</sup> گروه دامپزشکی، دانشکده دامپزشکی، دانشگاه تخصصی فناوری‌های نوین آمل، آمل، ایران

### اطلاعات مقاله چکیده

نوع مقاله: پژوهشی

تاریخ دریافت: ۱۴۰۲/۰۹/۲۷

تاریخ ویرایش: ۱۴۰۲/۱۲/۰۴

تاریخ پذیرش: ۱۴۰۳/۰۲/۳۰

تاریخ انتشار: ۱۴۰۳/۰۷/۱۴

### نویسنده مسئول:

حسین عزیزی

گروه نانو زیست فناوری،

دانشکده زیست فناوری،

دانشگاه تخصصی فناوری‌های

نوین آمل، آمل، ایران

Email:

h.azizi@ausmt.ac.ir

**مقدمه:** اسپرماتوژنر فرایند اصلی تولید اسپرم است که در لوله‌های اسپرم‌ساز انجام می‌شود. سلول‌های بنیادی اسپرم‌ساز (mSSCs) تووانای خودنوسازی، تمایز و انتقال اطلاعات ژنتیکی را به نسل‌های بعدی دارند. *KLF4* و *POU5F1* جزو عامل‌های رونویسی هستند که در طیف وسیعی از بافت‌ها بیان می‌شوند و نقش مهمی در فرایند‌های مانند آپوپتوز، تمایز و تکثیر و توسعه سلولی ایفا می‌کنند. هدف از مطالعه حاضر بررسی میزان بیان ژن‌های *KLF4* و *POU5F1* در سلول‌های بنیادی جنینی موش (*mESCs*)، سلول‌های بنیادی اسپرم‌ساز (*SSCs*)، سلول‌های بنیادی شبه‌جنینی (*ES-like*) و سلول‌های بیضه و همچنین شناسایی مسیرهای سیگنالینگ مرتبه آن‌ها در فرایند اسپرماتوژنر است.

**مواد و روش‌ها:** در این مطالعه تجربی، سلول‌های اسپرم‌ساز از بیضه موش با استفاده از روش هضم آنزیمی استخراج گردید و در محیط کشت GSC موش حاوی FGF و GDNF کشت داده شدند؛ سپس بیان ژن‌های *KLF4* و *POU5F1* و با روش‌های ایمونوپیتوژنیکی، ایمونوپیتوژنیمی و واکنش زنجیره‌ای پلیمراز رونویسی معکوس در سلول‌های *SSCs* و *mESCs* و سلول‌های بیضه بررسی گردید و تعاملات پروتئین-پروتئین و مسیر سیگنالینگ با روش‌های بیوانفورماتیکی ارزیابی شد.

**یافته‌های پژوهش:** ژن‌های *KLF4* و *POU5F1* در سلول‌های *ES-like* و بیضه بیان مثبت داشتند. اندازه گیری میزان بیان *mRNA POU5F1* و *mRNA KLF4* نشان داد که بیان *KLF4* در سلول‌های *mESCs* و *SSCs* نسبت به سایر سلول‌ها بیشتر و میزان بیان *POU5F1* در سلول‌های *SSCs* پیشتر است و *POU5F1* و *KLF4*، هر دو از ژن‌های اصلی و قدرتمندند که یک کلاس مشترک و عملکرد مشترک دارند.

**بحث و نتیجه‌گیری:** این نتایج نشان می‌دهد که *KLF4* و *POU5F1* از عامل‌های ضروری برای انجام صحیح فرایند اسپرماتوژنر هستند و در سلول‌های *SSCs* و *mESCs* و سلول‌های بیضه بیان دارند. این فاکتورها از عامل‌های اصلی سلول‌های بنیادی جنسی و عوامل پرتوانی سلول‌های بنیادی به شمار می‌روند و قابلیت استفاده به عنوان عامل‌های تشخیصی برای این رده‌های سلولی را دارند.

**واژه‌های کلیدی:** اسپرماتوژنر، سلول‌های بنیادی اسپرم‌ساز، مسیرهای سیگنالینگ، *KLF4*, *POU5F1*

استناد: بزدانی دیزیچه، عزیزی حسین، غلامی داریوش، خاکی امیر. بررسی و مقایسه شبکه ارتباطی و نحوه بیان ژن‌های *KLF4* و *POU5F1* طی فرایند اسپرماتوژنر. مجله

دانشگاه علوم پزشکی ایلام، مهر ۱۴۰۳؛ ۳۲(۴): ۶۵-۵۳.



ایجاد اسپرماتوگونی‌های متوسط و نوع B می‌شوند (۸). اسپرماتوگونی‌های نوع B آخرین تقسیم میتوز را برای تولید اسپرماتوسیت‌های اولیه انجام می‌دهند که اولین تقسیم میوز را برای تولید اسپرماتوسیت‌های ثانویه انجام می‌دهند؛ درنتیجه، تقسیم میوز دوم درنهایت، به اسپرماتید هاپلوتئید منجر می‌گردد. در فرایند اسپرماتوژنر، عامل‌های بسیاری نقش دارند؛ از جمله *KLF4* و *POU5F1*. عامل *KLF4* یک پروتئین انگشت روی حاوی عامل رونویسی است که در طیف وسیعی از بافت‌ها در پستانداران بیان می‌شود (۹). جایگاه ژن *KLF4* انسان روی کروموزوم q31<sup>۱۹</sup> قرار دارد، در حالی که موش روی کروموزوم B34 است. عامل *KLF4* به خانواده عامل‌های SP/KLF تعلق دارد (۱۰). *KLF4* بخشی از گروهی از پروتئین‌ها (همراه با *POU5F1*, *Sox2* و *c-Myc*) است که امکان برنامه‌ریزی مجدد سلول‌های تمایزیافته نهایی را به سلول‌های بنیادی پرتوان فراهم می‌کند (۱۱). عامل *KLF4* موجود در موش ۴۸۳ اسید آمینه با وزن مولکولی تخمین زده شده ۵۲ کیلو دالتون دارد و ۹۱ درصد شباهت به اسید آمینه *KLF4* انسان دارد. عامل *KLF4* نقش مهمی در تولید اسپرم دارد. در پیشة موش، *KLF4* بهشدت در سلول‌های زایا پس از میوز که در حال تمایز و تبدیل به سلول‌های اسپرم هستند و در سلول‌های سرتولی بیان می‌شود (۱۲). در پیشة انسان، *KLF4* در اسپرماتیدهای تمایزدهنده و در پیشتر سلول‌های لیدیگ نیز بیان می‌گردد (۱۳). در موش‌ها، عامل *KLF4* همراه با عامل‌های رونویسی دیگر پروتئین غشایی CXADR همانند پروتئین غشایی (CLMP) را در سلول‌های سرتولی فعال می‌کند و بنابراین، انتقال سلول‌های جنسی را در سراسر بیضه می‌تواند تنظیم نماید (۱۳). *OCT4* که توسط *POU5F1* کدگذاری می‌شود، یک عامل رونویسی از خانواده POU است (۱۴). خانواده *OCT4* بهشدت در سلول‌های جنینی پرتوان و سلول‌های زاینده بیان می‌گردد؛ اما در طول تمایز رشدی موش جنینی در سطوح پایینی قرار دارد. *OCT4* با تنظیم رونویسی ژن، تمایز خودنوسازی سلول‌های بنیادی را تنظیم می‌کند. *OCT4* در اسپرماتوگونی‌های تمایزیافه بیان می‌شود. با این حال، بیان *OCT4* محدودتر است و *OCT4*

## مقدمه

فرایند تولید شدن اسپرم در پستانداران به عنوان اسپرم زایی تعریف می‌شود که در لوله‌های اسپرم‌ساز در بیضه رخ می‌دهد. این فرایند ۷-۵ روز پس از تولد در جوندگان و ۱۰ تا ۱۳ سال پس از تولد در مردان شروع و طی حیات ادامه می‌یابد (۱). سلول‌های بنیادی اسپرماتوگونیال (SSCs) سلول‌های بنیادی در بیضه هستند که اساس اسپرم زایی اند و برای باروری ضروری هستند (۲). *SSCs* دو ویژگی دارند: ۱. خودتجدیدشوندگی برای حفظ جمعیت سلول‌های بنیادی ۲. تمایز برای تداوم تولید اسپرم در مردان پس از بلوغ (۳). *SSCs* ها سلول‌های پتانسیل تمایزی هستند که با سلول‌های بنیادی جنینی (ESC) قابل مقایسه‌اند. علاوه بر این سلول‌ها، سلول‌های بنیادی شبه‌جنینی (*ES-like*) نیز یافت شده‌اند که منبع سلول‌های پرتوان برای درمان بر پایه سلول‌های بنیادی هستند (۴)؛ بنابراین، تعادل میان خودنوسازی *SSCs* و تمایز در پیشة بالغ برای حفظ اسپرم زایی و باروری در زندگی ضروری است (۵). در پستانداران، اسپرماتوژنر در طول حیات توسط زیرجمعیتی از اسپرماتوگونی‌های نوع A (تمایزیافه) حفظ می‌شود. اسپرماتوگونی‌های A با هسته تیره (Adark) سلول‌های بنیادی ذخیره‌شونده هستند، در حالی که اسپرماتوگونی‌های A با هسته بی‌رنگ (Apale) سلول‌های بنیادی خود تجدیدشونده‌اند (۶). چندین زیرگروه در اسپرماتوگونی A در جوندگان بالغ وجود دارد (۷).

*SSCs* (AS) یک زیرجمعیت از اسپرماتوگونی نوع A هستند. اسپرماتوگونی‌های تک‌سلولی جدادشده‌ای هستند که توانایی تجدید خود یا تقسیم و تمایز به اسپرماتوگونی‌های (Apr) را دارند. اسپر (Apr) ماتوگونی‌های جفت‌شده دوتایی هستند. آن‌ها به طور همزمان به زنجیره‌های اسپرماتوگونی (Aal) تقسیم می‌شوند. از آنجاکه از نظر مورفو‌لژیکی ویژگی‌های کمی از تمایز هسته‌ای یا سیتوپلاسمی را نشان می‌دهند، سلول‌های A و Aal در مجموع اسپرماتوگونی تمایزیافته نامیده می‌شوند (۷)؛ بنابراین، اسپرماتوگونی‌های AP به صورت میتوز تقسیم می‌گردند و اسپرماتوگونی‌های ۴، ۸ و ۱۶ گاهی اوقات ۳۲ Aal را به وجود می‌آورند که باعث

KEGG (<http://amp.pharm.mssm.edu/Enrichr>) و Gephi (<https://www.genome.jp/kegg>) از نرم‌افزار استفاده شد.

**هضم آنزیمی بافت بیضه و کشت سلول‌های آن:**  
 سلول‌های بیضه موش، بعد از جداسازی از حیوان، در محلول نمکی بافر فسفات قرار داده شدند؛ سپس لوله‌های اسپرمساز بیضه از کپسول بیضه جدا گردیدند؛ سپس محلول حاصل برای بهدست آوردن سوپاپانیون تک‌سلولی به آرامی پیشانی شد. پس از سانتریفیوژ و حذف محلول بالایی، نمونه‌ها شسته و پس از عبور از فیلتر نایلونی، سانتریفیوژ شدند. محلول رویی حذف گردید و سلول‌های باقی‌مانده در محیط کشت مخصوص سلول‌های اسپرما تک‌سلولی کشت داده شدند (۱۷)؛ سپس سلول‌های منفرد حاصل از بافت بیضه هضم شده روی ظروف کشت پوشش داده شده با ژلاتین قرار گرفتند. سلول‌های کشت شده در محیط *GSC* موش (*mGSC*) شامل محیط *stemPro-34* ۱ درصد مکمل *N2* (*Invitrogen*, USA)، ۶ میلی‌گرم/میلی‌لیتر D-گلوکز (*Sigma Aldrich*, USA)، ۵ میلی‌گرم/میلی‌لیتر آلبومین سرم گاوی (*Sigma*, USA)، ۰/۱ *PAA*, *Aldrich*, USA درصد L-گلوتامین (*Invitrogen*, USA) درصد  $\beta$ -*mercaptoethanol* (*Invitrogen*, USA) پنی‌سیلین / استرپتومایسین (*PAA*, USA) ۱ درصد آمینو ویتامین‌های (*PAA*, USA) ۱ درصد *NEAA MEM* (*PAA*, USA) اسیدهای غیرضروری (*PAA*, USA) ۳۰ نانو‌گرم/میلی‌لیتر استرادیول (*Sigma Aldrich*, USA)، ۶۰ نانو‌گرم/میلی‌لیتر پروژسترون (*Sigma Aldrich*, USA)، ۲۰ نانو‌گرم/میلی‌لیتر *EGF* (*Sigma Aldrich*, USA)، ۱۰ نانو‌گرم/میلی‌لیتر *GDNF* (*Sigma Aldrich*, USA)، ۸ نانو‌گرم/میلی‌لیتر *LIF* (*Sigma Aldrich*, USA) ۱۰۰ واحد/میلی‌لیتر میکرو‌گرم/میلی‌لیتر *Millipore*, USA ۱۰۰ میکرو‌گرم/میلی‌لیتر آسکوربیک اسید (*Sigma Aldrich*, USA) ۳۰ میکرو‌گرم/میلی‌لیتر پیرویک اسید (*Sigma Aldrich*, USA) ۱ میکرو‌لیتر/میلی‌لیتر DL-لاکتیک اسید (*Sigma Aldrich*, USA) و استرادیول ۳۰ نانو‌گرم/میلی‌لیتر، پروژسترون ۶۰ نانو‌گرم/میلی‌لیتر و *ES*-*FBS* ۱ درصد (در دمای ۳۷ درجه سانتی‌گراد و ۵ *CO2* درصد) کشت داده شدند (۱۸).

ممکن است ترجیحاً در As بیان گردد (۱۵). با توجه به نقش حیاتی آن در حفظ پرتوانی، فعالیت OCT4 باید به شدت تنظیم شود تا از تداوم رده زایا و تمایز مناسب بافت‌ها و اندام‌های مختلف اطمینان حاصل گردد (۱۶). با توجه به مطالعات و تحقیقات انجام شده در گذشته و اکنون، ضرورت و اهمیت برخی از عوامل برای روند طبیعی اسپرما توزن زناخته شده است و این مطالعه نیز با هدف یافتن نشانگرها و ژن‌های سلول‌های زایا برای پیشبرد و رویکردهای جدید برای درمان ناباروری و سایر یماری‌ها انجام شده است.

### مواد و روش‌ها

این مطالعه آزمایشگاهی در سال ۱۴۰۱-۱۴۰۲، در گروه نانو زیست‌فناوری دانشکده زیست‌فناوری دانشگاه تخصصی فناوری‌های نوین آمل انجام گردید؛ همچنین این مطالعه کد اخلاق از دانشگاه تخصصی فناوری‌های نوین آمل به شماره ثبت ۰۰۷ Ir.ausmt.Rec.1402.007 دارد.

### ایجاد شبکه PPI، تجزیه و تحلیل مجموعه ژن‌ها و نقش آن‌ها:

ژن‌های دخیل در فرایند اسپرما توزن در NCBI توسط COREMINE شناسایی شدند و در پایگاه‌های داده آنلاین STRING vol.11.5 برای ساخت شبکه *PPI* استفاده گردیدند. *Cytoscape* vol.3.9.1 از نرم‌افزار (http://www.cytoscape.org) برای ایجاد، تجزیه و تحلیل شبکه *PPI* و نمایش ارتباطات آن‌ها استفاده شد. اولین گره‌های همسایه با ارتباط مستقیم با یکدیگر شناسایی و انتخاب گردید. نقش‌های بیولوژیکی ژن‌ها و محل بیان آن‌ها در شبکه *PPI* و گره‌های همسایه و نقش تنظیم کننده‌گی آن‌ها بر یکدیگر شناخت داده شد و تجزیه و تحلیل ارتباط ژن‌های عملکردی با استفاده از STRING در نرم‌افزار *Cytoscape* انجام گردید. ارتباط عملکردی مرتبط با داده‌های ما نیز بدون در نظر گرفتن مقدار *FDR* بررسی شد.

### بررسی مسیرهای سیگنالیگ ژن‌های *KLF4* و *POU5F1*

برای مطالعه و بررسی مسیرهای پیام‌رسانی غنی شده Enricher ژن‌های *KLF4* و *POU5F1* از

اختصاصی توالی در یک لوله آزمایشگاهی تکثیر گردید و تعداد رونوشت‌های هدف با استفاده از *TaqMan RT-PCR* و *BioMark Real-Time (qPCR)* مشخص شد. بر روی *RNA* معکوس در دمای ۵۰ درجه سانتی گراد به مدت ۱۵ دقیقه با استفاده از آنزیم ترانس کرپتاز معکوس انجام گردید که با حرارت دادن به ۹۵ درجه سانتی گراد به مدت ۲ دقیقه غیرفعال شد. *cDNA* در دمای ۹۵ درجه سانتی گراد به مدت ۱۵ ثانیه دناتوره گردید. پس از آن، محصولات در دمای ۶۰ درجه سانتی گراد به مدت ۴ دقیقه در ۱۴ سیکل تقویت شدند. محصولات تقویت شده تا ۵ برابر رقیق گردیدند و سپس با *TaqMan Universal PCR Master Mix* در یک سیستم *BioMark* تجزیه و تحلیل شدند. لازم به ذکر است، هر نمونه در دو تکرار فنی آنالیز گردید. برای تجزیه و تحلیل نهایی، داده‌هایی که در سیستم *Biomark* وجود نداشت، با یک *Ct* ۳۰ جایگزین شدند و داده‌ها با *GAPDH* و تغییر بیان *mRNA* در مقایسه با سلول‌های تعذیه کننده *MEF* نزمال گردیدند. تجزیه و تحلیل با نرم افزار *GenEx* صورت گرفت و از تجزیه و تحلیل با *Excel*, *SPSS vol.26*, *MultiID* استفاده شد. (۲۰).

**پودرزش بافت برای ایمونوهیستوشیمی (IMH):**  
بافت بیضه از موش‌های نر برداشته و سپس در *PBS* شسته شد و در پارافورمالدئید ۴ درصد برای حدود ۲۴ ساعت در دمای اتاق ثبیت گردید. بیضه دهیراته شده در قالب *Paraplast Plus* بخش‌ها روی اسلایدهای *Superfrost Plus* نصب گردید و تا زمان استفاده در دمای اتاق نگهداری شد. همه برش‌ها با گریلیل پارافین‌زدایی گردید و پیش از رنگ‌آمیزی در یک سری کاهشی (درصد) اتانول هیدراته شد. پس از بازیابی شدن آنتی‌زن با واسطه گرما و بافر نیترات سدیم ۱۰ میلی‌مolar با *EDTA* یا ۱ *pH* ۶ میلی‌مolar با ۸ *pH* در دمای ۹۵ درجه سانتی گراد به مدت ۲۰ دقیقه، آنتی‌زن‌هایی که متصل نگردیدند، با سرم ۱۰ درصد و ۳ *Triton X-100* در درصد و در *PBS* ۹۰ درصد مسدود و غیرفعال شدند و رنگ‌آمیزی ایمونوفلورسانس (همان‌طور که در بالا توضیح داده شد) ادامه

### کشت سلول‌های *ES-like cell* و *mESC*

سلول‌های *mESC* و شبه *ES* در محیط *ES* حاوی *KO-DMEM* یا محیط با گلوکوز بالا *FBS*, *DMEM*, محلول *-L MEM NEAA*, گلوتامین، *Pen-Strep*, مرکاپتواتانول و *LIF* کشت گردیدند. این سلول‌ها به تلاقی رسیدند. حدود ۴ الی ۵ روز پس از شروع کشت، سلول‌های *mESC* و شبه *ES* پس از شستشو با *PBS* به *MEFfeeder* جدید منتقل شدند و به مدت ۳ دقیقه با تریپسین-*EDTA* تیمار گردیدند. تریپسین *EDTA* با ۱۵ درصد *FBS* غیرفعال شد (۱۸).

### رنگ‌آمیزی ایمونوهیستوشیمی (ICC):

برای رنگ‌آمیزی ایمونوهیستوشیمی، از پلیت‌های ۲۴ خانه استفاده گردید و سلول‌ها در آن کشت داده شدند. برای فیکس کردن سلول‌های کشت داده شده از ۴ *PFA* درصد استفاده می‌گردد؛ سپس این سلول‌ها با *FBS* و *Tween20* شست و شو داده شدند. برای نفوذپذیر کردن یا *PCE* سلول‌ها از *Triton* حل شده در *PBS*، استفاده گردید و سلول‌ها با آنتی‌بادی‌های اولیه به مدت ۲۴ ساعت انکویه شدند؛ سپس این روند برای آنتی‌بادی‌های ثانویه نشان‌دار فلوكروم نیز تکرار گردید. برای رنگ‌آمیزی از *DAPI* استفاده شد؛ سپس از میکروسکوپ فلورسنس (*Olympus, BX51, Japan*) و میکروسکوپ رویشی هم کانون لیزری (کانفوکال) (*Zeiss LSM 700*) برای بررسی سلول‌های نشان‌دار شده استفاده گردید (۱۹).

### تجزیه و تحلیل بیان ژن در سیستم *Fluidigm* :*Biomark*

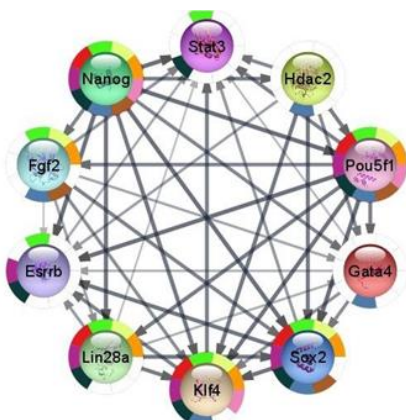
از چیپ‌های مخصوص *Fluidigm* برای اندازه گیری بیان ژن‌های سلول‌های زایا و پرتوان استفاده شد. ژن خانه‌دار *GAPDH* که برای کنترل استفاده گردید، در انواع مختلف سلول‌های کشت شده مانند سلول‌های بنیادی اسپرم‌ساز نوع I، نوع II و *ES-like* و *mESCs* بیان نشان داد. در هر نمونه، حدود ۱۰۰ سلول به صورت دستی از کشت‌های سلولی مختلف با میکروپیپت یا میکرومانیپلاتور برداشته شد و بلافاصله منجمد و در دمای -۸۰ درجه سانتی گراد نگهداری گردید. در ادامه، طی فرایندی با استفاده از آنزیم ترانس کرپتاز معکوس، *cDNA* به *mRNA* رونویسی معکوس شد که به طور

سپس با استفاده از آزمون Tukey ارزیابی شد. اگر مقدار  $P < 0.05$  به دست آمد، تفاوت میان گروه‌ها از نظر آماری معنی دار در نظر گرفته شد.

باft بیضه خشک شده در PBS شسته شد و در ۱۰، ۲۰ و ۳۰ درصد ساکارز PBS به مدت ۱۲ تا ۱۸ ساعت انکوبه گردید و سپس باft در *Tissue Tek* قرار داده شد. بلوک‌های منجمد با *cryostat* (*Leica CM 3050S*) در برش‌های ۱۲ تا ۲۰ میکرومتر برش داده شدند. برش‌ها روی اسلامیدهای شیشه‌ای *Superfrost Plus* قرار گرفتند و تا زمان تجزیه و تحلیل در دمای -۲۰ - درجه سانتی‌گراد نگهداری گردیدند. همه برش‌های منجمد در دمای اتاق به مدت ۳۰ دقیقه خشک شدند و پس از آن، رنگ‌آمیزی ایمونوفلورسانس انجام گردید که در بالا به تفصیل توضیح داده شد (۲۰).

#### تجزیه و تحلیل آماری:

همه آزمایش‌ها حداقل ۳ بار تکرار گردید. میانگین بیان ژن‌ها در گروه‌ها محاسبه شد و گروه‌ها با استفاده از آنالیز واریانس یک‌طرفه در نرم‌افزار SPSS vol.26 بررسی گردید؛



A

شکل شماره ۱. تجزیه و تحلیل عملکرد ژنی STRING با استفاده از Cytoscape

مقدار value	توضیحات	نام	رنگ نمودار	دسته
3.32E-15	سلول‌های بیبادی پرتوان سراسر	BTO:0006081	Orange	TISSUES
5.4E-15	سلول‌های بیبادی جینی انسان	BTO:0006080	Yellow	TISSUES
3.49E-13	سلول بیبادی پرتوان	BTO:0006078	Green	TISSUES
5.29E-12	سلول سوماتیک	BTO:0001268	Red	TISSUES
3E-10	سلول بیبادی جینی	BTO:0001086	Purple	TISSUES
6.97E-10	نگهداری از چسبنده سلول‌های پیوستی	GO:0019827	Dark Blue	GO Biological Process
4.22E-8	فیبرولاست	BTO:0000452	Blue	TISSUES
3.04E-6	سلول بیبادی بالغ	BTO:0002666	Brown	TISSUES
2.44E-5	خط سلول‌های بیبادی جینی	BTO:0001581	Pink	TISSUES

B

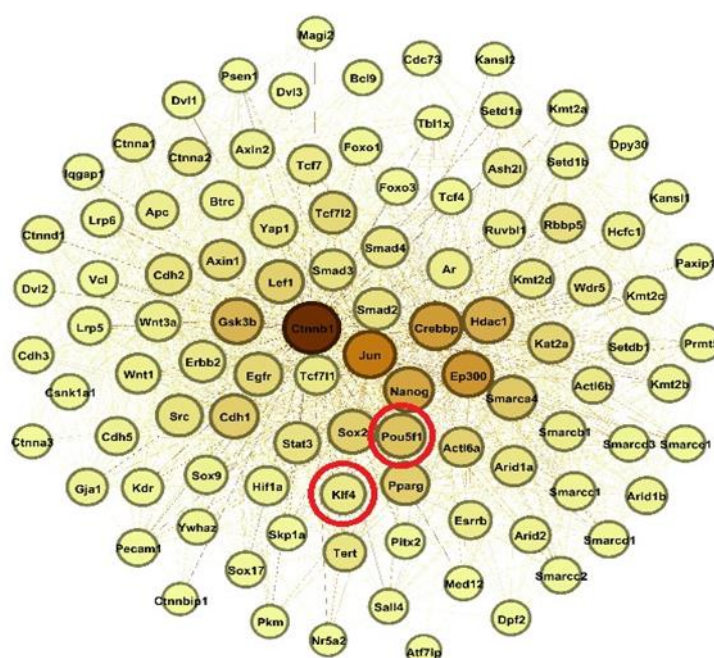
#### تحلیل ارتباطات عملکردی *POU5F1* و *KLF4* و بررسی مسیرهای سیگنالیست:

به منظور رسم شبکه ژنی مرتبط با *KLF4* و *POU5F1* بر اساس مؤلفه‌های درجه و مرکزیت واسطه‌گری از نرم‌افزار Gephi استفاده شد. در این شبکه، درجه با اندازه دایره‌ها و مرکزیت واسطه‌گری با رنگ مشخص می‌گردد. هرچه درجه بیشتر باشد، دایره‌ها بزرگ‌تر و هرچه مرکزیت واسطه‌گری بیشتر باشد، پررنگ‌تر هستند. درجه به میزان

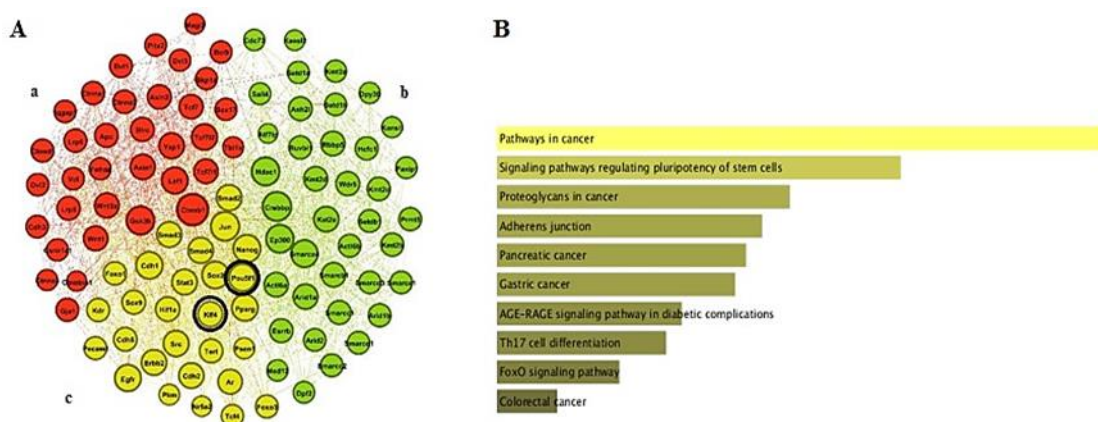
ارتباط یک ژن با ژن‌های دیگر گفته می‌شود و مرکزیت واسطه‌گری برای تشخیص میزان تأثیر انتقال یک ژن بر جریان انتقال اطلاعات در یک شبکه می‌گویند. *POU5F1* و *KLF4* از ژن‌های اصلی هستند و ارتباط‌شان با دیگر ژن‌های اصلی از ژن‌های قدرت ژن‌ها در شبکه و شناسایی ژن‌های اصلی مشخص شده است (شکل شماره ۲). این نرم‌افزار امکان تشخیص قدرت ژن‌ها در شبکه و شناسایی ژن‌های اصلی را فراهم می‌کند؛ سپس ژن‌های موجود در شبکه بر اساس این مؤلفه‌ها کلاس‌بندی شدند و موقعیت ژن‌های *KLF4* و

برای تشخیص ژن‌های اصلی که بیشترین ارتباط را با سایر ژن‌ها دارند، مقایسه مؤلفه‌های درجه و مرکزیت واسطه‌گری مشخص می‌شوند و کلاس‌بندی کردن شبکه مدنظر، مجموعه‌ی ژن‌هایی که با یکدیگر ارتباطات بیشتری دارند، با سایت STRING و نرم‌افزار Gephi مشخص شده؛ همچنین تحلیل عملکرد کلاس مدنظر با استفاده از سایت KEGG و Enricher انجام گردید (شکل‌های شماره ۲ و ۳).

*POU5F1* در شبکه مشخص گردید (کلاس c). این شبکه به ۳ کلاس a، b و c تقسیم شده است. ژن‌های موجود در هر کلاس ارتباطات ژنی بالا و ارتباط عملکردی بیشتری دارند و *POU5F1* و *KLF4* هر دو در کلاس c قرار دارند (A). تحلیل عملکرد کلاس مدنظر با استفاده از سایت Enricher و KEGG نشان‌دهنده این است که *POU5F1*، *KLF4* و سایر ژن‌های موجود در کلاس c عملکردی هماهنگ باهم دارند (B) (شکل شماره ۳).

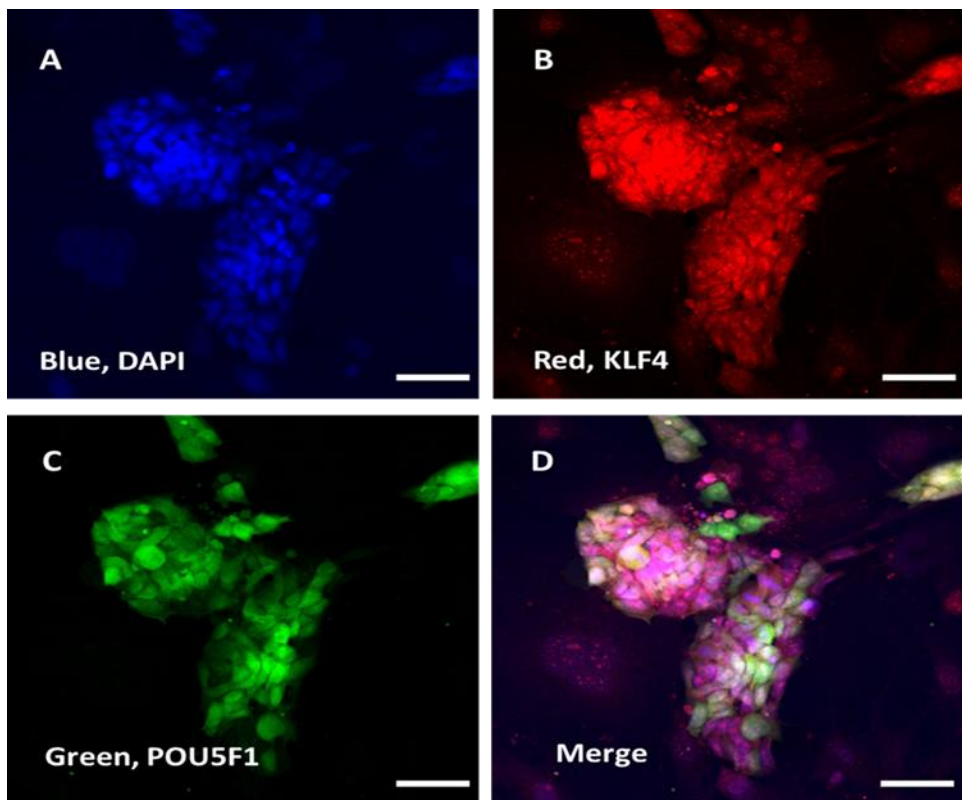


شکل شماره ۲. تحلیل و ارزیابی ژن‌های اصلی با اعمال فیلترهای درجه و مرکزیت واسطه‌گری با استفاده از Gephi



شکل شماره ۳. تحلیل و ارزیابی کلاس‌بندی

با *POU5F1* و *DAPI* و همپوشانی تصویر حاصل از *KLF4* و *POU5F1* مشخص شد که این نشانگرها بیان بالایی را در سلول‌های بنیادی شبه جنینی موش دارند. تصاویر به دست آمده از میکروسکوپ فلورئوسنت نشان می‌دهد که *KLF4* و *POU5F1* بیان بالایی در سلول‌های اسپرماتوگونی دارند که در پایه لوله‌های اسperm‌ساز قرار دارند (شکل شماره ۴).



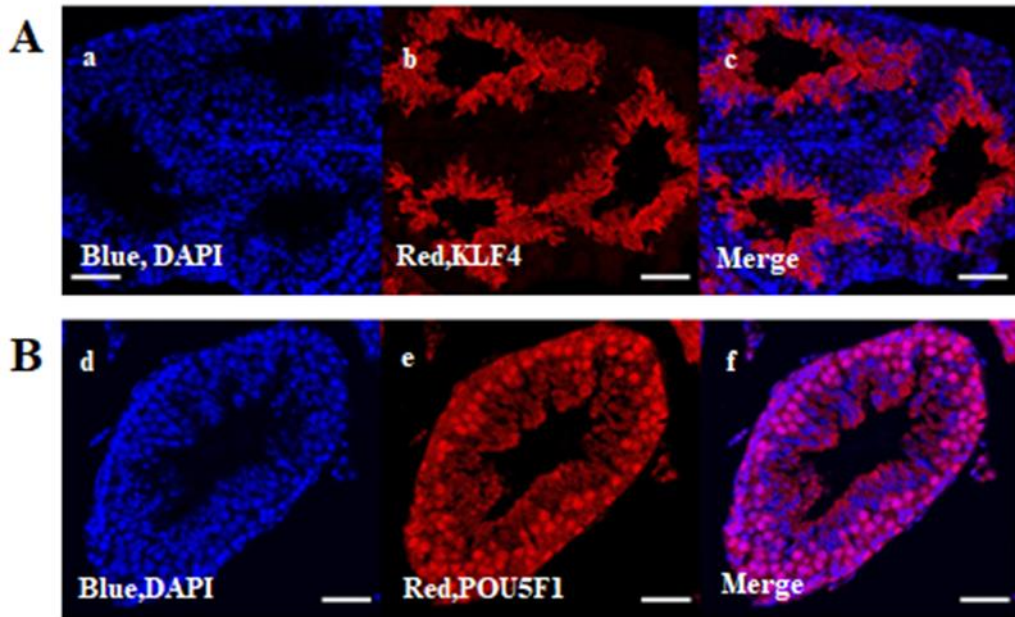
شکل شماره ۴. الگوی بیان *POU5F1* و *KLF4* با تجزیه و تحلیل ایمونوستیوژنی در سلول‌های *ES-like* موش. بیان *POU5F1* و *KLF4* در سلول‌های *ES-like*. A. آبی برای *DAPI*; B. قرمز نشان‌دهنده *diamidino-2-phenylindole (DAPI)*; C. سبز نشان‌دهنده بیان *KLF4*; D. تصویر ادغام شده از بیان *POU5F1* و *KLF4*. سبز نشان‌دهنده بیان پروتئین‌های مدنظر (مقیاس: um50) (شکل شماره ۵).

پس از رنگ‌آمیزی سلول‌ها با *DAPI* و همپوشانی هر کدام نشان داده شد که این دو در سلول‌های بیضه بیان بالایی دارند (شکل شماره ۵).

### تجزیه و تحلیل ایمونوستیوژنی *POU5F1* و *KLF4* در سلول‌های *ES-like*:

در مرحله اول، بیان *KLF4* و *POU5F1* در سلول‌های *ES-like* موش به‌وسیله ایمونوستیوژنی ارزیابی شد. تصویر به دست آمده برای تأیید وجود *SSC* با ایمونوستیوژنی بررسی گردید. پس از رنگ‌آمیزی سلول‌ها

تجزیه و تحلیل ایمونوستیوژنی *KLF4* و *POU5F1* در سلول‌های بیضه: بیان *KLF4* و *POU5F1* در سلول‌های بیضه به‌وسیله ایمونوستیوژنی بررسی گردید.

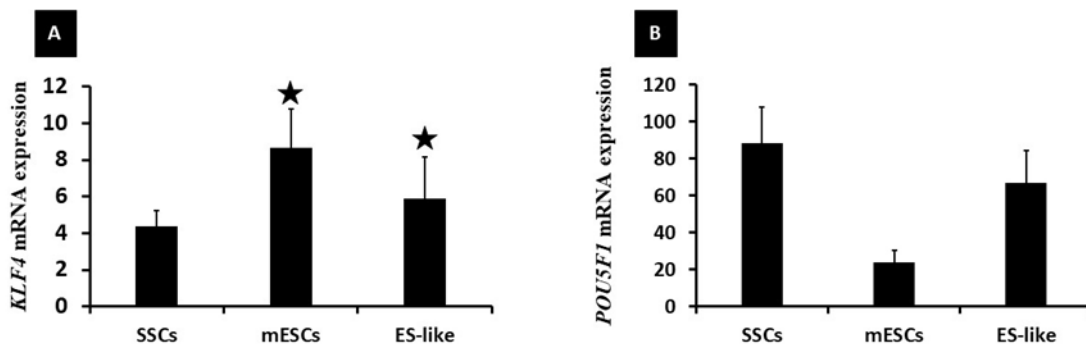


شکل شماره ۵. الگوی بیان *KLF4* و *POU5F1* با تجزیه و تحلیل ایمونوھیستوشیمی در سلول‌های بیضه. A. بیان *KLF4* آبی برای *diamidino-2-phenylindole (DAPI)* نشان‌دهنده بیان هسته‌ای پروتئین مدنظر؛ b. قرمز نشان‌دهنده بیان *KLF4*؛ c. تصویر ادغام شده از بیان *Pou5f1* آبی برای *diamidino-2-phenylindole (DAPI)* نشان‌دهنده بیان هسته‌ای پروتئین مدنظر؛ d. بیان *POU5F1* آبی برای *POU5F1* نشان‌دهنده بیان پروتئین مدنظر؛ e. قرمز نشان‌دهنده بیان *POU5F1*؛ f. تصویر ادغام شده از بیان پروتئین مدنظر

معنی داری ( $P < 0.05$ ) مشاهده گردید که نسبت به سلول‌های بنیادی اسپرم‌ساز بسیار بیشتر بود. در ادامه نیز بیان ژن *POU5F1* بررسی شد که مشخص گردید که این ژن در *SSCs* بیان بیشتری نسبت به سایر سلول‌ها دارد (شکل شماره ۶). بیان ژن‌ها در سلول‌هایی که بیان معنی داری ( $P < 0.05$ ) دارند، با ستاره مشخص شده است.

#### تجزیه و تحلیل *Fluidigm RT-PCR* برای بیان *KLF4* و *POU5F1*

اندازه گیری میزان بیان *KLF4* mRNA و *POU5F1* mRNA در *SSCs* و *ES-like* و *mESCs* در *KLF4* mRNA بیشتر از سایر سلول‌ها است. میزان بیان *POU5F1* در سلول‌های *SSC* بیان بیشتری نسبت به سایر سلول‌ها دارد. پس از بررسی تست *PCR Fluidigm* برای ژن *POU5F1* در سلول‌های *mESCs* و *ES-like* تفاوت بیان *KLF4*



شکل شماره ۶. بررسی بیان *KLF4* و *POU5F1* در سلول‌های *SSCs* و *mESCs* و *ES-like*. A. بیان *KLF4* آبی برای *POU5F1* بیان ژن *POU5F1*

## بحث و نتیجه‌گیری

به طور چشمگیری کاهش می‌یابد (۲۵). در این پژوهش، با استفاده از داده پایگاه ENRICHER و KEGG مشخص شد که *KLF4* و *POU5F1* ژن‌های اصلی در کلاس‌بندی خود هستند و همانگ باهم عملکرد مشترکی دارند که حذف آن‌ها باعث اختلال در عملکرد سلول می‌شود و این دو عملکردهای همانگی مانند نقش در سرطان، مسیر سیگنالینگ تنظیم پرتوانی سلول‌های بنیادی، سرطان روده بزرگ، سرطان پانکراس و دیگر نقش‌ها دارند (شکل‌های شماره ۲ و ۳). در این مطالعه با استفاده از تجزیه و تحلیل ایمونوستوشیمی، ایمونوستوشنی و تجزیه و تحلیل *FLUIDIGM RT-PCR* مشاهده شد که عامل *KLF4* در سلول‌های بنیادی اسپرم‌ساز و شبه‌جنینی و سلول‌های پیش‌بیان *KLF4* بالای دارد (شکل‌های شماره ۳، ۴، ۵ و ۶). عامل *KLF4* بهشت در سلول‌های زایا پس از میوز بیان می‌گردد؛ همچنین در بررسی‌های گادمن و همکاران شواهدی ارائه شد مبنی بر اینکه حذف *KLF4* در سلول‌های زایای موش نر بر رونوشت پس از میوز از جمله تنظیم کننده‌های رونویسی تأثیر می‌گذارد؛ بنابراین، این داده‌ها به کشف شبکه‌های رونویسی و سلسه مراحل کنترل کننده رشد اسپرم‌اتید کمک می‌کند. با این حال، داده‌های ریزآرایه یک فرایند بیولوژیکی خاص یا مسیرهای انتقال سیگنال را که ممکن است توسط *KLF4* کنترل شود، نشان ندادند. در واقع، آثار *KLF4* بر برنامه رونویسی سلول‌های زایای پیش‌بیان رسد که نسبتاً پلیوتروپیک باشد. به طور خلاصه، نبود *KLF4* بهتایی در سلول‌های زایای مردانه به طور غیرمنتظره‌ای از اسپرم‌زایی و باروری مردانه جلوگیری نمی‌کند (۲۶). با توجه به مطالعات انجام شده، در این پژوهش نشان داده شده است که *KLF4* در سلول‌های اسپرم‌ساز بیان دارد (شکل شماره ۶). مطالعه هامیل و هال تأییدی است بر اینکه *KLF4* در سلول‌های اسپرم‌ساز بیان می‌شود. نشان داده شده است که بیان *KLF4* در سلول‌های پس از میتوز نیز وجود دارد و تنها به آن محدود نمی‌شود و در سلول‌های پس از میوز که تحت اسپرم‌زایی قرار می‌گیرند نیز بیان می‌گردد (۲۷).

*POU5F1* نقش مهمی در تنظیم خودنوسازی و

هدف از این مطالعه بررسی میزان بیان ژن‌های *KLF4* و *POU5F1* در سلول‌های بنیادی جنینی موش (*mESCs*)، سلول‌های بنیادی شبه‌جنینی (*ES-like*) و سلول‌های پیش‌بیان، بررسی و شناسایی مسیرهای سیگنالینگ مرتبط با آن‌ها در فرایند اسپرم‌اتوزن است. در این مطالعه و با استفاده از بررسی‌های انجام شده مشخص گردید که *POU5F1* و *KLF4* عامل‌هایی هستند که در سلول‌های اسپرم‌ساز بیان بالایی دارند و کلاس مشترکی دارند که حاکی از این است که این دو عامل با یکدیگر و دیگر عامل‌ها ارتباط نزدیکی دارند و عملکردهای همانگ و مهمی را در سلول عهده‌دار هستند و به نحوی در فرایند اسپرم‌اتوزن تأثیرگذارند. *KLF4* عامل رونویسی است که در بافت‌های پستانداران وجود دارد و می‌تواند نقش اساسی و حیاتی در فرایند‌هایی مانند تمایز، توسعه، تکثیر، هم‌وستاز *KLF5* و *KLF4* بافت طبیعی و آپوپتوز داشته باشد و همچنین در دو عضو نزدیک به خانواده *KLF* هستند که نقش مهمی در تنظیم چرخه سلولی، برنامه‌ریزی مجدد سلول‌های سوماتیک و پرتوانی دارند (۲۱). *POU5F1* یک عامل رونویسی و تنظیم کننده اصلی پرتوانی سلولی با نقش‌های ضروری در رشد اولیه جنین و تعیین نسل سلولی است (۲۲). در این مطالعه نشان داده شده است که عامل‌های *KLF4* و *POU5F1* در سلول‌های بنیادی پرتوان انسانی، سلول‌های بنیادی جنینی انسانی، سلول‌های پرتوان، سلول‌های سوماتیک، سلول بنیادی جنینی و فیربولاست بیان دارند (شکل شماره ۱) و با توجه به نتایج مطالعه حاضر، در مطالعه بایر و همکاران نیز نشان داده شده است که *POU5F1* و *NANOG* و *SOX2* به عنوان عامل‌های رونویسی اصلی در حفظ پرتوانی عمل می‌کنند (۲۳). در این میان، هاوکیتز و همکاران در مطالعه خود دریافتند که دریافت سلول‌های بنیادی *POU5F1* و *SOX2* برای تولید سلول‌های *KLF4* رانیز پرتوان ضروری هستند. علاوه بر این، *C-MYC* و *POU5F1* به عنوان عامل ضروری شناسایی کردند (۲۴). مطالعه براس و همکاران نشان داده است که *KLF4* در سلول‌های بنیادی جنینی تمایز نیافته به شدت بیان می‌شود و بیان آن در طول تمایز

مانند *SOX2*, *FGF2*, *NANOG* و *LIN28A* ارتباط مستقیم دارند و همچنین *KLF4* و *POU5F1*, هر دو از ژن‌های اصلی هستند و در بک کلاس قرار دارند و با یکدیگر و سایر ژن‌های موجود در کلاس ارتباطات عملکردی بیشتری دارند و هماهنگ باهم مجموعه‌ای از عملکردها را انجام می‌دهند.

### سپاس‌گزاری

این مقاله برگرفته از پایان‌نامه کارشناسی ارشد با عنوان «بررسی آزمایشگاهی بیان *KLF4* در سلول‌های لوله اسپرم‌ساز موش به عنوان یک فاکتور تأثیرگذار در تکوین و تمایز سلول‌های بنیادی» است که در سال ۱۴۰۱ با حمایت دانشگاه تخصصی فناوری‌های نوین آمل انجام شده است. بدین‌وسیله از پروفسور توماس اسکوتلا که ما را در انجام تست‌های مولکولی در دانشگاه هایدلبرگ یاری کردند، نهایت تشکر به عمل می‌آید. این مطالعه بر اساس توافق‌نامه همکاری (*MOU*) میان دانشگاه هایدلبرگ آلمان و دانشگاه تخصصی فناوری‌های نوین آمل انجام شد.

### تعارض منافع

نویسنده‌گان مقاله اعلام می‌دارند که هیچ‌گونه تضاد منافعی در پژوهش حاضر وجود ندارد. مطالعه حاضر پس از تأیید شورای پژوهشی دانشگاه تخصصی فناوری‌های نوین آمل و کمیته اخلاق در پژوهش با کد IR.ausmt.Rec.1402.007 صورت گرفت.

### کد اخلاق

IR.ausmt.Rec.1402.007

### مشارکت نویسنده‌گان

مائده یزدانی و حسین عزیزی در ارائه ایده، مائده یزدانی، حسین عزیزی و داریوش غلامی در طراحی مطالعه، مائده یزدانی در جمع‌آوری داده‌ها، حسین عزیزی، داریوش غلامی و امیرخاکی در تجزیه و تحلیل داده‌ها مشارکت داشته و همه نویسنده‌گان در تدوین، ویرایش اولیه و نهایی مقاله و پاسخگویی به سوالات مرتبط با مقاله سهیم هستند.

پرتوانی *ESC*‌ها و در برنامه‌ریزی مجدد سلول‌های سوماتیک *mRNA* ایفا می‌کند (۲۸). عزیزی و همکاران در بررسی بیان تأیید کردند که بیان شدن ژن‌های اختصاصی در سلول‌های جنسی با افزایش سن رابطه معکوس دارد و با افزایش سن، بیان کاهش می‌یابد و بنابراین، بیان *SOX2*, *NANOG*, *POU5F1* و *KLF4* به طور چشمگیری در سلول‌های نوزادی فراوان و در سلول‌های بالغ کمتر است. همان‌طور که در این مطالعه نشان داده شده است که *POU5F1* در سلول‌های اسپرم‌ساز بیان دارد، در مطالعه پسچه و همکاران بیان شد که این عامل همچنین ممکن است به طور خاص در اسپرم‌اتوگونی تمایز نیافته و تخمک‌های بالغ موردنیاز باشد. از داده‌های ارائه شده نمی‌توان نتیجه‌گیری کرد که آیا سرکوب *POU5F1* در طول گامتوژنر ممکن است به علت اصلاح کروماتین باشد یا بیان سرکوب‌گرهای که ژن *POU5F1* را به شیوه‌ای خاص تنظیم می‌کنند. جالب توجه است که *GCNF* یک گیرنده اختصاصی سلول زایا (۲۹)، الگویی از بیان را نشان می‌دهد که می‌تواند در تنظیم فعالیت پرومودر *OCT4* نقش داشته باشد (۳۰). با توجه به شکل شماره ۶ و تجزیه و تحلیل و بررسی‌های انجام شده، نتایج نشان داد که بیان *POU5F1* در سلول‌های *SSC* بیشتر است. *POU5F1* در مطالعه دان و همکاران نشان داده شده است که برای حفظ پرتوانی در طول رشد اولیه جنینی و در سلول‌های ES و برای زنده ماندن سلول‌های زایای اولیه حیاتی است و همچنین *POU5F1* برای عملکرد سلول‌های *SSC* و برای خودنوسازی *SSC* با ارتقای تکثیر و بقای آن‌ها موردنیاز است (۳۱).

با توجه به بررسی‌ها و مطالعات انجام شده و نتایج آزمایش‌ها می‌توان به این نتیجه رسید که *KLF4* و *POU5F1* در سلول‌های بیضه وجود دارند و بیان بالایی را در سلول‌های اسپرم‌اتوگونی دارند که در پایه لوله‌های اسپرم‌ساز موش قرار گرفته‌اند و عامل‌های ضروری برای انجام صحیح فرایند اسپرم‌اتوژنر، تولید اسپرم و حفظ پرتوانی و خودترمیمی سلول‌های بنیادی هستند.

*POU5F1* و *KLF4* به همراه ژن‌های دیگر در فرایند اسپرم‌اتوژنر نقش دارند. *POU5F1* و *KLF4* با ژن‌های دیگر

## References

- Huang P, Wang T. Spermatogonial stem cell and TGF- $\beta$  {eta} involved regulation of proliferation and differentiation. arXiv 2017; doi:10.48550/arXiv.1706.03892.
- Lu X, Yin P, Li H, Gao W, Jia H, Ma W. Transcriptome Analysis of Key Genes Involved in the Initiation of Spermatogonial Stem Cell Differentiation. Genes 2024;15:141. doi: 10.3390/genes15020141.
- Yang L, Liao J, Huang H, Lee TL, Qi H. Stage-specific regulation of undifferentiated spermatogonia by AKT1S1-mediated AKT-mTORC1 signaling during mouse spermatogenesis. Dev Biol 2024 ;509:11-27. doi: 10.1016/j.ydbio.2024.02.002.
- Asadi MH, Javanmardi S, Movahedin M. Derivation of *ES-like* cell from neonatal mouse testis cells in autologous sertoli cells co-culture system. Iran J Reprod Med 2014;12:37-46.
- Spradling A, Drummond-Barbosa D, Kai T. Stem cells find their niche. Nature 2001;414:98-104. doi: 10.1038/35102160.
- Waheed R, Hofmann MC. Human spermatogonial stem cells: a possible origin for spermatocytic seminoma. Int J Androl 2011;34:e296-e305. doi:10.1111/j.1365-2605.2011.01199.x.
- Griswold MD. Spermatogenesis: the commitment to meiosis. Physiol Rev 2016;96:1-17. doi: 10.1152/physrev.00013.2015.
- Robles V, Herraez P, Labbé C, Cabrita E, Pšenička M, Valcarce DG, et al. Molecular basis of spermatogenesis and sperm quality. Gen Comp Endocrinol 2017;245:5-9. doi: 10.1016/j.ygcen.2016.04.026.
- Haroush N, Levo M, Wieschaus E, Gregor T. Functional analysis of a gene locus in response to non-canonical combinations of transcription factors. arXiv 2023. doi: 10.48550/arXiv.2308.05685.
- Dang DT, Pevsner J, Yang VW. The biology of the mammalian Krüppel-like family of transcription factors. Int J Biochem Cell Biol 2000;32:1103-21. doi:10.1016/S1357-2725(00)00059-5.
- Zaehres H, Schöler HR. Induction of pluripotency: from mouse to human. Cell 2007;131:834-5. doi: 10.1016/j.cell.2007.11.020.
- Behr R, Kaestner KH. Developmental and cell type-specific expression of the zinc finger transcription factor Krüppel-like factor 4 (*Klf4*) in postnatal mouse testis. Mech Dev 2002;115:167-9. doi: 10.1016/S0925-4773(02)00127-2.
- Ghaleb AM, Yang VW. Krüppel-like factor 4 (*KLF4*): What we currently know. Gene 2017;611:27-37. doi: 10.1016/j.gene.2017.02.025.
- Wang X, Dai J. Concise review: isoforms of OCT4 contribute to the confusing diversity in stem cell biology. Stem Cells 2010;28:885-93. doi:10.1002/stem.419.
- Filipponi D, Hobbs RM, Ottolenghi S, Rossi P, Jannini EA, Pandolfi PP, et al. Repression of kit expression by Plzf in germ cells. Mol Cell Biol 2007;27:6770-81. doi:10.1128/MCB.00479-07.
- Jin X, Li Y, Guo Y, Jia Y, Qu H, Lu Y, et al. ERα is required for suppressing OCT4-induced proliferation of breast cancer cells via DNMT1/ISL1/ERK axis. Cell Prolif 2019;52:e12612. doi: 10.1111/cpr.12612.
- Hashemi Karoii D, Azizi H. A review of protein-protein interaction and signaling pathway of Vimentin in cell regulation, morphology and cell differentiation in normal cells. J Recept Signal Transduct Res 2022;42:512-20. doi:10.1080/10799893.2022.2047199.
- Azizi H, Karoii DH, Skutella T. Oct4 Protein and Gene Expression Analysis in the Differentiation of Spermatogonia Stem Cells Into Functional Mature Neurons by Immunohistochemistry, Immunocytochemistry, and Bioinformatics Analysis. Stem Cell Rev Rep 2023;19:1828-44. doi: 10.1007/s12015-023-10548-8.
- Azizi H, Ranjbar M, Rahaiee S, Govahi M, Skutella T. Investigation of VASA gene and protein expression in neonate and adult testicular germ cells in mice in vivo and in vitro. Cell J (Yakhteh) 2020;22:171. doi: 10.22074/cellj.2020.6619.
- Azizi H, Tabar AN, Skutella T, Govahi M. In vitro and in vivo determinations of the anti-GDNF family receptor alpha 1 antibody in mice by immunochemistry and RT-PCR. Int J Fertil Steril 2020;14:228-33. doi: 10.22074/ijfs.2020.6051.
- Aksoy I, Giudice V, Delahaye E, Wianny F, Aubry M, Mure M, et al. *Klf4* and *Klf5* differentially inhibit mesoderm and endoderm differentiation in embryonic stem cells. Nat Commun 2014;5:3719. doi: 10.1038/ncomms4719.
- Daigneault BW, Rajput S, Smith GW, Ross PJ. Embryonic *POU5F1* is required for expanded bovine blastocyst formation. Sci Rep 2018;8:7753. doi: 10.1038/s41598-018-25964-x.
- Boyer LA, Lee TI, Cole MF, Johnstone SE, Levine SS, Zucker JP, et al. Core transcriptional regulatory circuitry in human embryonic stem cells. Cell 2005;122:947-56. doi: 10.1016/j.cell.2005.08.020.
- Hawkins K, Joy S, McKay T. Cell signalling pathways underlying induced pluripotent

- stem cell reprogramming. *World J Stem Cells* 2014;6:620. doi: 10.4252/wjsc.v6.i5.620.
- 25. Bruce SJ, Gardiner BB, Burke LJ, Gongora MM, Grimmond SM, Perkins AC. Dynamic transcription programs during ES cell differentiation towards mesoderm in serum versus serum-free BMP4 culture. *BMC Genomics* 2007;8:1-26. doi: 10.1186/1471-2164-8-365.
  - 26. Godmann M, Gashaw I, Katz JP, Nagy A, Kaestner KH, Behr R. Krüppel-like factor 4, a “pluripotency transcription factor” highly expressed in male postmeiotic germ cells, is dispensable for spermatogenesis in the mouse. *Mech Dev* 2009;126:650-64. doi: 10.1016/j.mod.2009.06.1081.
  - 27. Hamil KG, Hall SH. Cloning of rat Sertoli cell follicle-stimulating hormone primary response complementary deoxyribonucleic acid: regulation of TSC-22 gene expression. *Endocrinology* 1994;134:1205-12. doi: 10.1210/endo.134.3.8161377.
  - 28. Bruno S, Schlaeger TM, Del Vecchio D. Epigenetic OCT4 regulatory network: stochastic analysis of cellular reprogramming. *NPJ Syst Biol Appl* 2024;10:3. doi: 10.1038/s41540-023-00326-0.
  - 29. Chen F, Cooney AJ, Wang Y, Law SW, O'Malley BW. Cloning of a novel orphan receptor (GCNF) expressed during germ cell development. *Mol Endocrinol* 1994;8:1434-44. doi: 10.1210/mend.8.10.7854358.
  - 30. Pesce M, Wang X, Wolgemuth DJ, Schöler HR. Differential expression of the Oct-4 transcription factor during mouse germ cell differentiation. *Mech Dev* 1998;71:89-98. doi: 10.1016/s0925-4773(98)00002-1.
  - 31. Dann CT, Alvarado AL, Molyneux LA, Denard BS, Garbers DL, Porteus MH. Spermatogonial stem cell self-renewal requires OCT4, a factor downregulated during retinoic acid-induced differentiation. *Stem Cells* 2008;26:2928-37. doi: 10.1634/stemcells.2008-0134.